

# 冷迳流的稳定性及其解析解的分析

欧阳首承 朱克云 肖天贵

(成都气象学院, 成都, 610041)

## 提 要

本文利用相法讨论了  $y$  方向无限伸延的冷迳流方程。首先发现其非线性项作用由于  $z$  方向上的补偿作用而消失, 即其相空间的方程是四阶线性常微分方程。利用 Hurwitz 方法分析其稳定性时, 证明了唯有中性大气符合冷迳流的稳定性条件。其解析解的趋势表明与观测结果类似。

关键词: 冷迳流; 稳定性; 相空间。

## 一、引 言

冷迳流是晴天夜空因重力作用而沿坡面流下的冷空气。由于其在一定条件下的湍流作用, 对山区污染物的扩散, 农作物及树木的低温冷害有重要的影响, 因而, 冷迳流是山区气候的重要课题。目前, 研究冷迳流多以观测数据<sup>[1-3]</sup>进行分析, 而文献[4]采用不考虑层结的非线性模式进行了数值计算, 得出有意义的结果, 但没有指出  $s=0$  的原因。本文利用相法分析了冷迳流方程, 演算中发现相空间的冷迳流方程, 由于  $z$  方向的补偿作用, 其非线性项自动消失, 即此问题转化为相空间时, 可以不涉及非线性作用, 并通过求解四阶线性常微分方程可得到类似于文献[4]的结果。利用 Hurwitz 方法讨论其稳定性时, 发现唯有中性层结时, 沿山坡下滑的冷迳流是稳定的。这也间接地证实了文献[4]采用  $s=0$  的方程组是合理的。显然, 这对冷迳流的发生、发展的分析和观测是具有理论和应用意义的。

## 二、基本方程及稳定性分析

如图 1 所示, 考虑坡度为  $\alpha$  的斜坡, 设  $x$  轴平行于斜坡而向下,  $z$  轴垂直于斜坡而向上。由于冷迳流的尺度较小, 故略去  $f$ , 其基本方程为(文献[5]):

$$\left( \frac{\partial}{\partial t} + u \frac{\partial}{\partial x} + w \frac{\partial}{\partial z} \right) u = \mu_1 \frac{\partial^2 u}{\partial x^2} + \mu_2 \frac{\partial^2 u}{\partial z^2} + \eta \theta \sin \alpha, \quad (1)$$

$$\left( \frac{\partial}{\partial t} + u \frac{\partial}{\partial x} + w \frac{\partial}{\partial z} \right) \theta = \mu_1 \frac{\partial^2 \theta}{\partial x^2} + \mu_2 \frac{\partial^2 \theta}{\partial z^2} - s \cdot u \sin \alpha, \quad (2)$$

$$\frac{\partial u}{\partial x} + \frac{\partial w}{\partial z} = 0, \quad (3)$$

1990 年 9 月 20 日收到、12 月 9 日收到修改稿。

式中  $u, \theta, w$  分别为坡面的流速、温差及垂直于坡面的速度； $\eta = \beta g$   $\beta \approx 1/273$  为空气的热膨胀系数； $s$  为层结参数， $s > 0$  表示稳定， $s < 0$  表示不稳定层结（ $s$  为常数）； $\mu_1, \mu_2$  为  $x, z$  方向上的湍流交换系数，均取为常数。

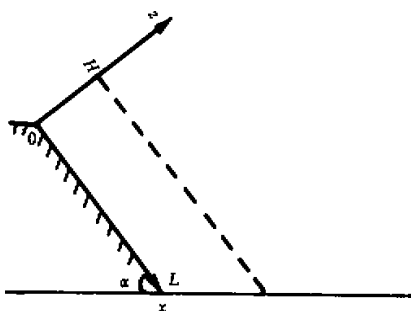


图1 坐标选取

将(1)式用微分算子  $\left( \frac{\partial}{\partial t} + u \frac{\partial}{\partial x} + w \frac{\partial}{\partial z} \right)$  作用并利用(2)式可以得到，

$$\begin{aligned} & \left( \frac{\partial}{\partial t} + u \frac{\partial}{\partial x} + w \frac{\partial}{\partial z} \right) \left( \frac{\partial u}{\partial t} + u \frac{\partial u}{\partial x} + w \frac{\partial u}{\partial z} - \mu_1 \frac{\partial^2 u}{\partial x^2} - \mu_2 \frac{\partial^2 u}{\partial z^2} \right) \\ &= \left( \mu_1 \frac{\partial^2}{\partial x^2} + \mu_2 \frac{\partial^2}{\partial z^2} \right) \left( \frac{\partial u}{\partial t} + u \frac{\partial u}{\partial x} + w \frac{\partial u}{\partial z} - \mu_1 \frac{\partial^2 u}{\partial x^2} - \mu_2 \frac{\partial^2 u}{\partial z^2} \right) \\ & - \eta s u \sin^2 \alpha . \end{aligned} \quad (4)$$

令

$$\begin{cases} u = u(\xi) \\ w = w(\xi) \\ \xi = kx + mz - vt \end{cases} \quad (5)$$

(5)式代入(4)式，有

$$\begin{aligned} & \left( \frac{\partial}{\partial t} + u \frac{\partial}{\partial x} + w \frac{\partial}{\partial z} \right) [(-v + ku + mw) u_{\xi} - (\mu_1 k^2 + \mu_2 m^2) u_{\xi\xi}] \\ &= \left( \mu_1 \frac{\partial^2}{\partial x^2} + \mu_2 \frac{\partial^2}{\partial z^2} \right) [(-v + ku + mw) u_{\xi} - (\mu_1 k^2 + \mu_2 m^2) u_{\xi\xi}] \\ & - \eta s u \sin^2 \alpha . \end{aligned} \quad (6)$$

由(3)式，有

$$ku + mw = 0 ,$$

上式代入(6)式经整理得，

$$u_{\xi\xi\xi\xi} + \alpha_1 u_{\xi\xi\xi} + \alpha_2 u_{\xi\xi} + \alpha_3 u_{\xi} + \alpha_4 u = 0 , \quad (7)$$

式中下标  $\xi$  表示对  $\xi$  求导，而

$$\left\{ \begin{array}{l} \alpha_1 = \frac{2v(\mu_1 k^2 + \mu_2 m^2)}{(\mu_1 k^2 + \mu_2 m^2)^2}, \quad \alpha_2 = \frac{v^2}{(\mu_1 k^2 + \mu_2 m^2)^2}, \\ \alpha_3 = 0 \quad , \quad \alpha_4 = \frac{\eta \cdot s \sin^2 \alpha}{(\mu_1 k^2 + \mu_2 m^2)^2}. \end{array} \right. \quad (8)$$

(7)式即为相空间的四阶常微分方程。之中是由于  $ku + mw = 0$  的原因，导致相空间的非线性项消失。由于(7)式为线性常微分方程，故可根据 Hurwitz (文献 [6]) 判别式讨论其稳定性，其稳定性条件为

$$\left\{ \begin{array}{l} \frac{2v(\mu_1 k^2 + \mu_2 m^2)}{(\mu_1 k^2 + \mu_2 m^2)^2} > 0 \\ \frac{2v^3(\mu_1 k^2 + \mu_2 m^2)}{(\mu_1 k^2 + \mu_2 m^2)^4} > 0 \\ -\frac{4v^2(\mu_1 k^2 + \mu_2 m^2)^2}{(\mu_1 k^2 + \mu_2 m^2)^4} \cdot \frac{\eta s \sin^2 \alpha}{(\mu_1 k^2 + \mu_2 m^2)^2} > 0 \\ \frac{\eta s \sin^2 \alpha}{(\mu_1 k^2 + \mu_2 m^2)^2} > 0 \end{array} \right. \quad (9)$$

由(9)式的第三及第四式知，对于冷迳流的厚度而言，应是  $s=0$ ，即在冷迳流的厚度层内可视为一致的，否则无论是  $s>0$  或是  $s<0$  均会导致不稳定。这也间接地证明了文献 [4] 所使用的方程中，不考虑  $s$  项在理论上的合理性。于是稳定性条件(9)变为，

$$\left\{ \begin{array}{l} \frac{2v}{\mu_1 k^2 + \mu_2 m^2} > 0, \\ \frac{2v^3}{(\mu_1 k^2 + \mu_2 m^2)^3} > 0 \end{array} \right. \quad (10)$$

(10)式进一步说明了， $v>0$  时沿山坡下滑的冷迳流是稳定的；而  $v<0$ ，即沿山坡上行的冷迳流是不稳定的。这也正说明了， $s=0$ ，即中性层结时，冷迳流的危害较大。显然，上式除了理论上的意义外，对于冷迳流的观测和预报均有实际意义。

### 三、方程的求解及讨论

由于  $\alpha_3=0$ ，及中性层结时  $s=0$ ，即  $\alpha_4=0$ ，故(7)式的特征方程可以写为

$$\lambda^2(\lambda^2 + \alpha_1 \lambda + \alpha_2) = 0, \quad (11)$$

其4个特征根分别为

$$\lambda = 0; 0; -\frac{v}{\mu_1 k^2 + \mu_2 m^2}; -\frac{v}{\mu_1 k^2 + \mu_2 m^2}.$$

于是(7)式的通解为，

$$u = C_1 e^{\lambda_1 \xi} + C_2 \xi e^{\lambda_1 \xi} + C_3 + C_4 \xi, \quad (12)$$

式中  $C_1, C_2, C_3, C_4$  为待定常数， $\lambda = -\frac{v}{\mu_1 k^2 + \mu_2 m^2}$ 。由于(7)式是相空间的四阶常微分方程，为求特解可分别按自变量  $\xi=0, \xi=\xi_1, \xi=\xi_2, \xi=mH$  给出下列条件：

$$\begin{cases} \xi = 0, & u = 0, \\ \xi = \xi_1 = kL - vT, & u = 0, \\ \xi = \xi_2 = kL + mH - vT, & u = u_0, \\ \xi = mH, & u = u_0, \end{cases} \quad (13)$$

其中  $L$  为坡面长度,  $H$  为  $z$  方向的厚度, (13) 式中的第一式表示原空间在坡面上 ( $z=0$ ,  $k, v=0$ ), 风速为 0; 第二式表示在坡底, 时间尺度为  $T$  时, 风速为 0 (文献 [4]). 将(13)式代入(12)式, 经演算可求得:

$$\begin{aligned} C_1 &= \frac{u_0(\xi_2 e^{i\xi_2} - \xi_1^2 e^{i\xi_1} + mH e^{imH})}{(\xi_1 e^{i\xi_1} + e^{imH})(mH e^{i\xi_2} + \xi_1 - \xi_2 e^{imH}) + \xi_2(e^{i\xi_2} + e^{imH})(mH - 1 - e^{imH} - mH e^{i\xi_1})} \\ C_2 &= \frac{-u_0 \xi_1 (e^{imH} - \xi_2 e^{imH} - mH e^{i\xi_1} + mH e^{i\xi_2} - \xi_2 - 1)}{mH[(\xi_1 e^{i\xi_1} + e^{imH})(mH e^{i\xi_2} + \xi_1 - \xi_2 e^{imH}) + \xi_2 (e^{i\xi_2} + e^{imH})(mH - 1 + e^{imH} - mH e^{i\xi_1})]}, \\ C_3 &= -C_1, \\ C_4 &= \frac{u_0}{mH} \\ &+ \frac{u_0(\xi_2 e^{i\xi_2} - \xi_1^2 e^{i\xi_1} + mH e^{imH}) - u_0 e^{imH}[(\xi_2 + \xi_1 mH) e^{i\xi_2} - \xi_1 \xi_2 e^{i\xi_1} + \xi_2(1 - \xi_1) e^{imH}]}{mH[(\xi_1 e^{i\xi_1} + e^{imH})(mH e^{i\xi_2} + \xi_1 - \xi_2 e^{imH}) + \xi_2 (e^{i\xi_2} + e^{imH})(mH - 1 + e^{imH} - mH e^{i\xi_1})]}. \end{aligned}$$

式中,  $\xi_1 = kL - vT$ ,  $\xi_2 = kL + mH - vT$ ,  $\lambda = -\frac{v}{\mu_1 k^2 + \mu_2 m^2}$ .

由冷迳流的观测事实<sup>[1, 7]</sup>, 知其在时空分布上具有极值的特征, 经演算, 当

$$2(kL - vT) e^{2\lambda(kL - vT)} = mH$$

成立时, 相应地有

$$C_4 = 0.$$

于是(7)式的特解为

$$u = C_1 e^{-\frac{v}{\mu_1 k^2 + \mu_2 m^2} \xi} + C_2 \xi e^{-\frac{v}{\mu_1 k^2 + \mu_2 m^2} \xi} + C_3. \quad (14)$$

下面讨论(14)式的时空变化特征.

1) 时间的变化特征

令

$$\begin{aligned} \lambda_1 &= \frac{v}{\mu_1 k^2 + \mu_2 m^2}, & \tilde{C}_1 &= C_1 e^{-\lambda_1(kx + mz)}, \\ \tilde{C}_2 &= C_2 e^{-\lambda_1(kx + mz)}, & \tilde{C}_3 &= C_3, \quad u_t = \frac{\partial u}{\partial t} \end{aligned}$$

则(14)式变为

$$u = \tilde{C}_1 e^{i_1 v t} - \tilde{C}_2 v t e^{i_1 v t} + C_3. \quad (15)$$

由此, 有

$$u_t = \lambda_1 v \tilde{C}_1 e^{i_1 v t} - v \tilde{C}_2 e^{i_1 v t} - \lambda_1 v^2 \tilde{C}_2 t e^{i_1 v t}. \quad (16)$$

$u_t = 0$  为驻点, 即

$$\lambda_1 v \tilde{C}_1 - v \tilde{C}_2 - \lambda_1 v^2 \tilde{C}_2 t_1 = 0$$

或

$$t_1 = (\lambda_1 \tilde{C}_1 - \tilde{C}_2) / \lambda_1 v \tilde{C}_2. \quad (17)$$

而

$$u_{tt} = (\lambda_1^2 v^2 \tilde{C}_1 - 2 \tilde{C}_2 \lambda_1 v^2 - \tilde{C}_2 \lambda_1^2 v^3 t) e^{\lambda_1 v t},$$

(17)式代入上式，即

$$u_{tt}|_{t=t_1} = -\tilde{C}_2 \lambda_1 v^2 e^{\lambda_1 v t_1},$$

若  $v > 0$ ，则  $\lambda_1 > 0$ ，故有

$$u_{tt}|_{t=t_1} \begin{cases} > 0, & \text{当 } \tilde{C}_2 < 0, \\ < 0, & \text{当 } \tilde{C}_2 > 0. \end{cases} \quad (18)$$

取  $\tilde{C}_2 > 0$ ，则  $u_{tt}|_{t=t_1 < 0}$ ，即在  $t=t_1$  处  $u$  取得极大值。所以  $u$  的时间变化是由初始时刻，即  $t=0$ ，则  $u=0$ ，随时间  $t$  的增长， $u$  也增长，到  $t=t_1$  时，达到极大值。然后随时间减小到  $t=T$  时为止。其随时间的变化曲线如图 2 所示。

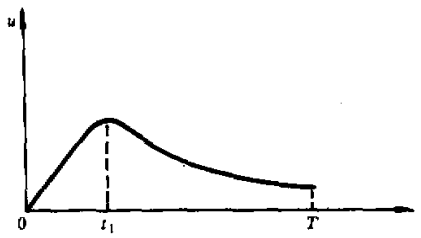


图2 坡面冷迳流  $u$  随时间的变化曲线图

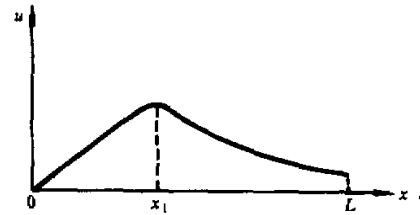


图3 冷迳流沿坡面变化的示意图

## 2) 空间 ( $x$ 方向) 的分布特征

令

$$C_{11} = C_1 e^{-\lambda_1(mz-vt)},$$

$$C_{21} = C_2 e^{-\lambda_1(mz-vt)},$$

$$C_{31} = C_3, \quad u_x = \frac{\partial u}{\partial x},$$

则有

$$u = C_{11} e^{-\lambda_1 kx} + C_{21} k x e^{-\lambda_1 kx} + C_{31}.$$

而

$$u_x = (-\lambda_1 k C_{11} + C_{21} k - C_{21} \lambda_1 k^2 x) e^{-\lambda_1 kx}.$$

$u_x = 0$  为驻点，类似地有

$$x_1 = (-\lambda_1 C_{11} + C_{21}) / \lambda_1 k C_{21}. \quad (19)$$

而

$$u_{xx}|_{x=x_1} = -\lambda_1^2 k^2 C_{11} e^{-\lambda_1 k x_1} \begin{cases} > 0, & C_{11} < 0 \text{ 时,} \\ < 0, & C_{11} > 0 \text{ 时.} \end{cases}$$

类似， $C_{11} > 0$ ，则在  $x=x_1$  处， $u$  达到极大，即  $u$  沿  $x$  方向的变化是由  $x=0$  时的  $u=0$ ，继而因  $x$  方向的增大而增大，到  $x=x_1$  时，达至极大值，之后沿  $x$  的增长而减小。其变化曲线如图 3 所示。

## 四、结 论

(1) 由于 $z$ 方向上的补偿作用，非线性的冷迳流问题，可以用相空间的线性方程来讨论，不仅使问题得到处理上的简化，含义也较清晰。

(2) 利用 Hurwitz 方法讨论冷迳流的问题的稳定性，可得出中性层结时，冷迳流是稳定的，即文献 [5] 中冷迳流方程中 $s$ 项对于稳定的冷迳流问题可以舍去，或文献 [4] 的数值计算所引用的冷迳流方程是稳定的冷迳流方程，而 $s \geq 0$  则均是不稳定的。这对分析、预测冷迳流是有实用意义的。

(3) 稳定性分析中，也发现 $v > 0$ ，即沿山坡下滑的冷迳流是稳定的，而 $v < 0$ ，即沿山坡上行的冷迳流是不稳定的。

(4) 利用相空间转换所求得的解析解，经简化分析所得到的结果与文献 [2—3] 的观测事实及文献 [4] 的数值试验类似。

致谢：翁笃鸣先生对冷迳流问题的指教表示衷心地感谢。

## 参 考 文 献

- [1] 吉野正敏，1984，关于青平高原冷迳流的特性研究，国外农学——农业气象，总第9期，21—22。
- [2] 吉野正敏，1984，冷湖的形成及其对农业的影响，国外农学——农业气象，总第7期，22—27。
- [3] 大和田道雄，1984，矢作川流域的冷迳流及逆温强度，国外农学——农业气象，总第9期，23—25。
- [4] 王浩、傅抱璞，1988，冷迳流的理论研究，气象学报，46，469—476。
- [5] [苏]古特曼，1976，中尺度气象过程非线性理论引论，科学出版社，271。
- [6] 《数学手册》编写组，1979，数学手册，人民教育出版社，683。
- [7] 吉野正敏，1984，冷迳流的发生机制，国外农学——农业气象，总第10期，14。

## Stability of Cold-Air Drainage and Analysis of Analytic Solution

Ouyang Shoucheng Zhu Keyun Xiao Tiangu

*(Chengdu Institute of Meteorology, Chengdu, 610041)*

### Abstract

The equations of cold-air drainage are studied using a phase angle function in this paper. The terrain is considered as an ideal two dimensional slope extending infinitely in  $y$ -direction. Firstly, it is found that nonlinear terms disappear because of some effects in  $z$ -direction. Then a linear fourth-order differential equation is obtained and its stability is analysed with Hurwitz. Its solution is obtained. Only neutral atmosphere according with stability condition of cold-air drainage.

**Key words:** Cold-air drainage; Stability; Phase space.